

III-17 土の G , h に与えられた排水条件の影響(その1)

(株) 应用地質調査事務所 正員 古田一郎
○正員 和田健一

1. まえがき 土質調査において、土の動的変形特性(例えば剛性率 G や減衰定数 h)を求める場合、せん断時の排水条件が、現在のところ統一されていない。筆者等は、この点を系統的に再整理することを試みている。今回は、ブロックサンプリングした洪積砂を用いた比較実験結果について報告する。

2. 試料 東京付近で採取した比重 $G_s = 2.70$ 、均等係数 $I_c = 1.23$ の均質な洪積砂で、採取した深度はT.P.-9.2m、現在の有効土被り圧は 1.62 kgf/cm^2 である。

3. 実験方法 実験には、軸圧加振型振動三軸試験機を使用した。実験条件は、表1に示すとおりであるが、圧密に関しては、等方状態とし背圧を 2.0 kgf/cm^2 負荷している。また、B値は、全て0.96以上を確認している。

4. 実験結果 今回は、 G , h を評価する前段階として、応力～歪関係を20波目について整理した。

図1は、軸歪片振幅 ϵ_a と軸差応力 q (= $\sigma_1 - \sigma_3$)の関係を示した

表1 載荷条件

試験名	圧密圧力 (kgf/cm ²)	載荷様式	載荷波数	せん断時 排水条件
D	0.8, 1.6, 3.2	段階載荷	各段階 20波	排水
U				非排水

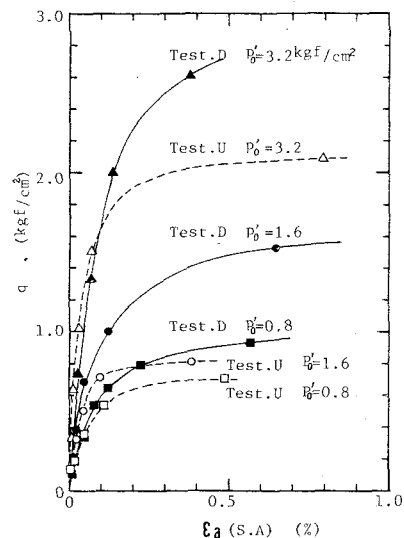


図1 q ～ ϵ_a 曲線

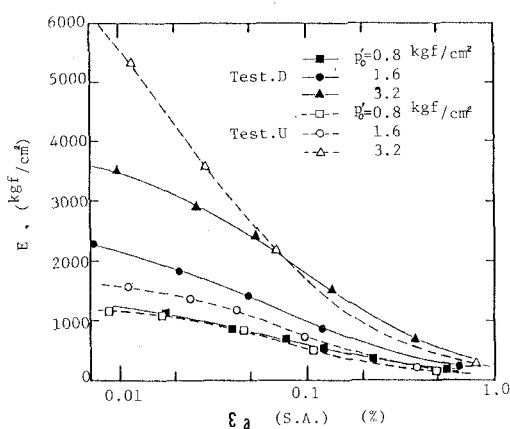


図2 E ～ ϵ_a

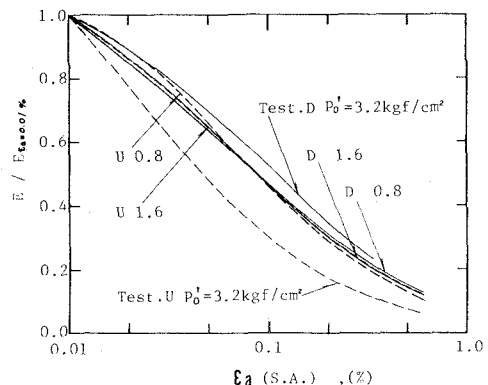


図3 $E/E_{\epsilon_a=0.01\%}$ ～ ϵ_a

ものである。 φ が大きくなると、非排水状態では排水状態に較べて発生する歪が著しく大きくなっている。このことは、変相線付近で排水条件によって挙動が著しく変化することを示唆しているといえよう。 ε_a と動的弾性定数 E との関係は、図2のようになり、排水状態の方が全般的に大きな E を示している。図2を $\varepsilon_a = 0.01\%$ における E で正規化すると、図3となる。非排水試験(U)の $p'_0 = 3.2 \text{ kgf/cm}^2$ を除けば、排水条件による歪依存性の差異は、顕著でない。

次に、歪の発生状況をみるために、応力平面上での等歪線を比較した。図4は、20度目開始時の有効平均主応力 p'_0 を横軸にとった応力平面上に、軸歪片振幅 ε_a の等歪線を描いたものである。

歪は、 φ/p'_0 に強く支配される傾向にある。 $\varepsilon_a \leq 0.1\%$ では、排水条件による著しい差は認められないが、これより大きな歪領域では φ/p'_0 の増加に対して排水状態での歪の増加が顕著になつてゐる。また、図からは、横軸に φ が最大となるときの φ をとり、圧縮側、伸張側それぞれに発生する最大軸歪を求めて応力平面上に等歪線を描いたものである。 $\varepsilon_{max} \leq 0.1\%$ では、排水条件による著しい差は認められないが、 $\varepsilon_{max} > 0.1\%$ では、 φ/p'_0 の増加に対して排水状態では圧縮側、非排水状態では伸張側で歪の発生が顕著である。

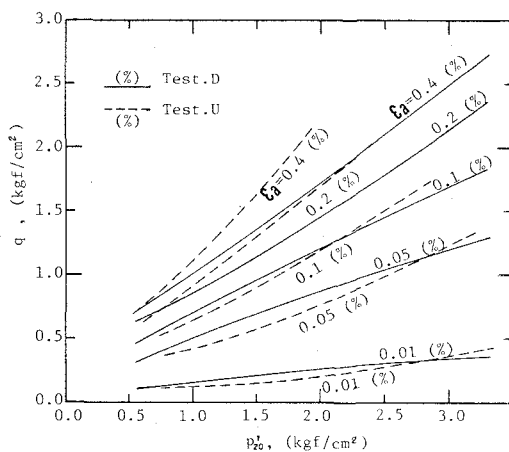


図4 $\varphi - \varphi'$ 面上の等歪線

5. むすび 今回の試験結果から、次のことが言える。

- 1).せん断強度は、非排水状態の方が低い。
- 2).Eは、排水試験で求めた方が大きい値を示すが、その歪依存性にいいくは、顕著な差が認められない。
- 3).応力平面上で等歪線を描くと、 ε_a が 0.1% より小さな歪領域では、排水条件による著しい差は認められない。
- 4).従来言われているように、歪は、 φ よりも φ/p'_0 に強く支配されといふ傾向がある。

以上の結果は、限られた試料数のため、試料毎のバラツキを検討するに至りにくい。不搅乱試料については、多量の実験を行はうのは実質上不可能である。また、圧密履歴による影響も考慮しにくく。したがふく、標準砂等の搅乱試料を用いて、詳細な検討を行はねば行く必要があう)。

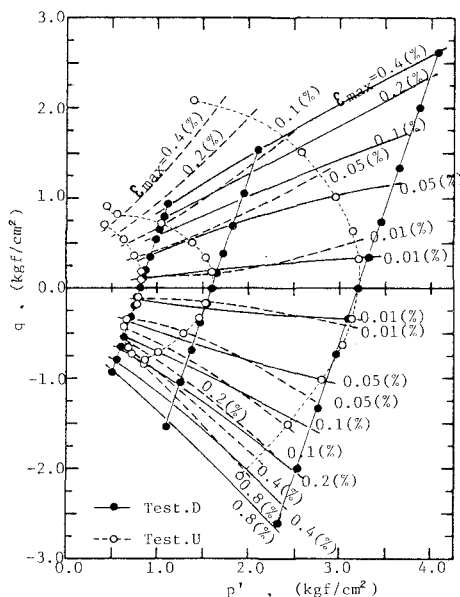


図5 $\varphi - \varphi'$ 面上の等歪線